2012 № 5 (67)

УДК 621.396.677

ЗЕРКАЛЬНАЯ АНТЕННА В РЕЖИМЕ ПРИЕМА СФЕРИЧЕСКОЙ ВОЛНЫ

О.А. ЮРЦЕВ, Н.М. НАУМОВИЧ, М.М. ДГАЛИ

Белорусский государственный университет информатики и радиоэлектроники П. Бровки, 6, Минск, 220013, Беларусь

Поступила в редакцию 30 марта 2012

Рассматривается однозеркальная антенна с параболическим рефлектором полного профиля. Облучатель — пирамидальный рупор. Методом физической оптики исследуется распределение поля в ближней зоне и диаграмма направленности при фокусировке антенны в дальнюю и ближнюю зоны.

Ключевые слова: зеркальная антенна, метод физической оптики, режим передачи и приема, распределение поля в дальней и ближней зонах.

Введение

Зеркальные антенны используются в различных радиосистемах как средне- и остронаправленные антенны. В системах радиовидения используются многолучевые антенны в режиме приема при фокусировке на заданное расстояние, включая ближнюю зону. В таких системах анализ распределения поля в области расположения облучателя при приеме волны из заданной точки пространства, включая ближнюю зону, может быть проведен только численно. В известных работах, посвященных зеркальным антеннам, как правило, рассматривается режим передачи. Кроме того, вопросы фокусировки антенны исследуются с использованием аналитических выражений, полученных с различными приближениями. В настоящей статье излагаются результаты численного моделирования зеркальной антенны с облучателем в виде пирамидального рупора, смещенного из фокуса в заданную точку. Антенна облучается сферической волной от источника, расположенного в точке, расположенной в любой зоне пространства. Используется метод физической оптики, позволяющий достаточно точно определить поле, рассеянное рефлектором, в переднем полупространстве.

Метод решения задачи и математическая модель зеркальной антенны в режиме приема

Антенна с рупорным облучателем показана на рис.1. Обозначения на рис.1: D — диаметр рефлектора; F — фокус рефлектора; f — фокусное расстояние рефлектора; Br, Ar — размеры раскрыва рупора облучателя в плоскостях E и H; DrY, DrZ — смещение облучателя из фокуса вдоль оси Y и Z; N — произвольная точка на поверхности рефлектора; Rn, θn , θn — сферические координаты точки N; P — точка, в которой определяется поле, рассеянное рефлектором (точка наблюдения); Rp, θp , θp — сферические координаты точки P; Q — точка, в которой расположен источник сферической волны, облучающей антенну; Rq, θq , θq — сферические координаты точки Q (угловая координата θ точек θ и θ отсчитывается от оси θ к оси θ); θ θ — расстояние между точками θ и θ .

Размеры поперечного сечения прямоугольного волновода, питающего рупор, обеспечивают выполнение условия единственности основной волны H_{10} . Структура силовых линий электрического поля этой волны показана на рис. 1 на раскрыве облучателя.

Для определения поля в точке P используется метод физической оптики. В соответствии с этим методом по полю сферической волны, излучаемой из точки Q и имеющей заданную

амплитуду E_i , определяется вектор плотности поверхностного тока \vec{J}_n на поверхности рефлектора с использованием граничного условия для идеально проводящей поверхности:

$$\overrightarrow{J}_n = 2[n_0, H_i], \tag{1}$$

 $\stackrel{\rightarrow}{}_{\text{где}} n_0$ — единичный вектор нормали к поверхности рефлектора; $\stackrel{\rightarrow}{H}_i$ — вектор магнитного поля облучающей электромагнитной волны (ЭМВ).

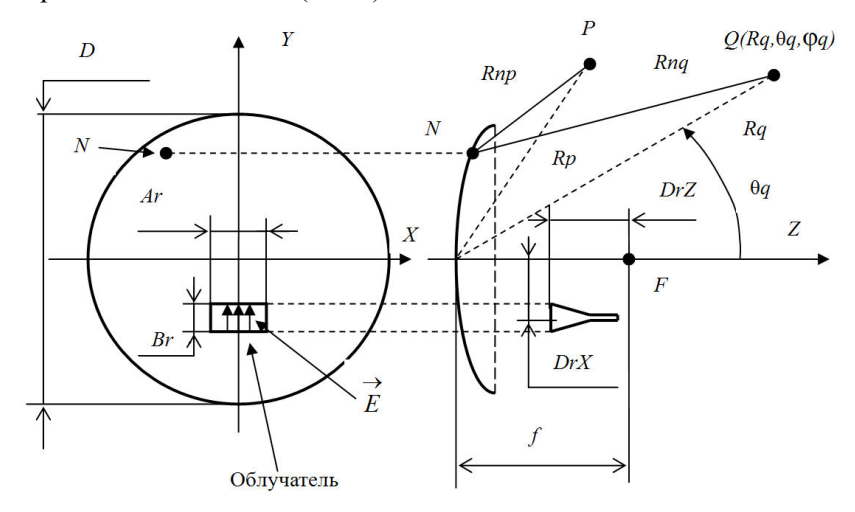


Рис. 1. Зеркальная антенна

Векторы \overrightarrow{E}_i и \overrightarrow{H}_i связаны соотношением

$$\overrightarrow{E}_i = Z_c[\overrightarrow{R}_0, \overrightarrow{H}_i], \tag{2}$$

где Z_c — характеристическое сопротивление свободного пространства.

На рис. 2 показаны рефлектор, векторы n_0 , R_0 , векторы поля облучающей ЭМВ и декартовы составляющие вектора $J_n = J_{nx} + J_{ny} + J_{nz} = J_{nx} x_0 + J_{ny} y_0 + J_{nz} z_0$ (x_0 , y_0 , z_0 — орты системы координат X, Y, Z).

По току \vec{J}_n методом векторного потенциала определяется поле в точке P:

$$\overrightarrow{E}_{p} \approx -i\omega \overrightarrow{A}_{p}, \text{ где } \overrightarrow{A}_{p} = \frac{\mu_{a}}{4\pi} \int_{S} \overrightarrow{J}_{n} \frac{e^{-ikRnp}}{Rnp} dS$$
(3)

где μ_a — абсолютная магнитная проницаемость пространства, в котором расположена антенна; $k=\frac{2\pi}{\lambda}$ — волновое число свободного пространства, λ — длина волны.

В математической модели используются следующие соотношения. Связь между прямоугольными и сферическими координатами для точки N:

$$Xn = R\sin\theta_n\cos\phi_n; Yn = R\sin\theta_n\sin\phi_n; Zn = R\cos\theta_n, \tag{4}$$

где R — радиус-вектор точки N на поверхности параболоида в системе координат, начало которой совпадает с фокусом параболоида:

$$R = \frac{2f}{1 + \cos \psi} \,, \tag{5}$$

 ψ – угол между фокальной осью параболоида (осью Z) и направлением на точку N из фокуса.

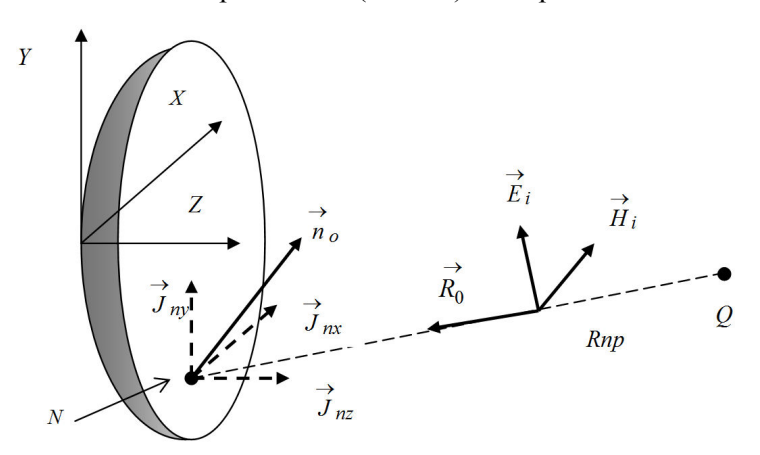


Рис. 2. Составляющие вектора плотности тока на поверхности рефлектора

Связь между прямоугольными и сферическими координатами для точек P и Q, определяется выражениями, аналогичными (4). Через эти координаты нетрудно выразить расстояния между точками N и Q .

Векторы поля облучающей волны представляются в виде суммы декартовых составляющих:

$$\overrightarrow{E}_{i} = E_{ix} x_{0}^{2} + E_{iy} y_{0}^{2} + E_{iz} z_{0}^{2}; \quad \overrightarrow{H}_{i} = H_{ix} x_{0}^{2} + H_{iy} y_{0}^{2} + H_{iz} z_{0}^{2}.$$
(6)

Поле $\stackrel{
ightharpoonup}{E_p}$ на раскрыве рупора облучателя возбуждает рупор и далее питающий волновод. Для решения задачи возбуждения использована теория возбуждения волноводов методом собственных волн [1]. В соответствии с этой теорией поле в волноводе $\stackrel{
ightharpoonup}{E}$, $\stackrel{
ightharpoonup}{H}$ представляется в виде суммы собственных волн волновода $\stackrel{
ightharpoonup}{E_{\nu}}$ и $\stackrel{
ightharpoonup}{H_{\nu}}$, где ν – обобщенный индекс, характеризующий тип поля и направление его распространения:

$$\vec{E} = \sum_{(v)} C_{v} \vec{E}_{v} , \vec{H} = \sum_{(v)} C_{v} \vec{H}_{v} , \tag{7}$$

где коэффициенты возбуждения $C_{\rm v}$ связаны со сторонними источниками — плотностью стороннего электрического J_e и стороннего магнитного J_h токов соотношением

$$C_{\nu} = \frac{1}{N_{\nu}} \int_{V} \left[\overrightarrow{J}_{e} \overrightarrow{E}_{-\nu} - \overrightarrow{J}_{h} \overrightarrow{H}_{-\nu} \right] dV , \qquad (8)$$

где V — объем, в котором расположены сторонние источники поля; $N_{\rm v}$ — норма, определяемая выражением

$$N_{v} = \int_{S} \{ [\vec{E}_{v}, \vec{H}_{-v}] - [\vec{E}_{-v}, \vec{H}_{v}] \} \stackrel{\rightarrow}{m_{0}} dS.$$
 (9)

В выражениях (7)-(9) $\vec{E}_{\rm V},\vec{H}_{\rm V}$ – прямые собственные волны, $\vec{E}_{-{\rm V}},\vec{H}_{-{\rm V}}$ – обратные собственные волны; S – площадь поперечного сечения волновода; \vec{m}_0 – единичный вектор нормали к плоскости поперечного сечения волновода.

Далее приведенные соотношения используются для решения задачи возбуждения волны H_{10} в прямоугольном волноводе с размерами поперечного сечения Ar и Br, т.е. не учитывается переход с раскрыва рупора на волновод. Считается, что высшие типы волн, кроме волны H_{10} , не распространяются в волноводе, что обеспечивается выбором размеров Ar и Br. В случае возбуждения волновода полем на раскрыве интегрирование в (8) необходимо проводить по раскрыву рупора. Вектор $\overrightarrow{J}_e = 0$, а вектор \overrightarrow{J}_h выражается через касательную к раскрыву рупора составляющую поля \overrightarrow{E}_p . Ось возбуждаемого волновода ориентирована вдоль оси Z. В этом случае можно записать $\overrightarrow{m}_0 = \overrightarrow{z}_0$,

$$\overrightarrow{J}_h = -[\overrightarrow{z_0}, \overrightarrow{E}_p]. \tag{10}$$

Используя известные [1] выражения для составляющих векторов электрического и магнитного поля волны H_{10} , нетрудно получить следующее для нормы этой волны:

$$N_{\nu} = N_{h10} = \frac{E_m^2}{Z_{\nu}} Ar \cdot Br , \qquad (11)$$

где
$$Z_v = \sqrt{\frac{\mu_a}{\epsilon_a}} / \sqrt{1 - \left(\frac{\lambda}{2Ar}\right)^2}$$
 — поперечное характеристическое сопротивление волновода с раз-

мерами Ar и Br для волны H_{10} ; ε_a , μ_a — абсолютные диэлектрическая и магнитная проницаемости среды, заполняющей полость волновода; E_m — амплитуда электрического поля волны H_{10} в центре поперечного сечения.

После необходимых преобразований выражение для электрического поля волны H_{10} получается следующим (есть только одна составляющая E_{v}):

$$E = E_y = \frac{\cos\left(\frac{\pi \cdot x}{Ar}\right)}{Ar \cdot Br} \int_{x=-0, Ar}^{0,5Ar} \int_{y=-0,5Br}^{0,5Br} E_{py}(x, y) \cos\left(\frac{\pi \cdot x}{Ar}\right) dy \cdot dx , \qquad (12)$$

где E_{py} – комплексная амплитуда составляющей стороннего поля на раскрыве рупора, касательная к раскрыву;

$$E_{py} = \begin{pmatrix} \overrightarrow{E}_p, \overrightarrow{y}_o \end{pmatrix} = \begin{vmatrix} \overrightarrow{F}_p(x, y) \end{vmatrix} \cdot e^{i\Psi_p(x, y)}, \tag{13}$$

 $\Psi_{p}(x,y)$ – распределение фазы стороннего поля на раскрыве рупора.

Из (12) следует выражение для амплитуды поля в центре широкой стороны рупора и мощности, принятой рупором:

$$E_{\text{max}} = \frac{1}{Ar \cdot Br} \left| \int_{x=-0, Ar}^{0,5Ar} \int_{y=-0,5Br}^{0,5Br} E_{py}(x, y) \cos\left(\frac{\pi \cdot x}{Ar}\right) dy \cdot dx \right|.$$
 (14)

$$Pr = \frac{E_{\text{max}}^2}{4Z_v} Ar \cdot Br \ . \tag{15}$$

Диаграмма направленности в режиме приема определяется как зависимость \sqrt{Pr} от угловых координат источника сферической волны (точки Q на puc.1).

Результаты численного моделирования

Описанная математическая модель реализована в виде программы, которая позволяет для заданной геометрии антенны рассчитать:

- 1) распределение поля в картинной плоскости $z={\rm const},$ вдоль фокальной оси при заданных значениях координат $Z_{\rm min}$ и $Z_{\rm max}$, ограничивающих область наблюдения поля, и на сфере $R_q={\rm const};$
- 2) диаграмму направленности антенны (ДН) в режиме приема, т.е. зависимость амплитуды поля в волноводе облучателя от угла θ_q , в том числе при фокусировке антенны в ближнюю зону, и диаграмму направленности антенны в режиме передачи при заданном смещении облучателя с фокальной оси;
- 3) параметры диаграммы направленности θ_m направление главного максимума, F_{bm} максимальный уровень боковых лепестков.

Моделирование проведено при различных геометрических параметрах антенны D/λ и F/D, но ниже основные закономерности иллюстрируются, в основном, на антенне с D/λ =30 и F/D=0,5, если специально не оговорено иное. Геометрические размеры раскрыва облучателя Ar, Br выбраны так, чтобы в режиме передачи на кромке рефлектора облучатель создавал поле с амплитудой, равной 0,3 от максимума поля в центре рефлектора.

Распределение поля в ближней зоне. На рис.3 показано распределение нормированной к максимуму амплитуды электрического поля вдоль фокальной оси рефлектора (оси Z на рис. 1) при облучении антенны со стороны оси Z (θ_p =0) для двух случаев: R_q =100 D (из дальней зоны – рис. 3,a) и R_q =D (из ближней зоны). На графиках по горизонтальной оси отложена линейная координата вдоль фокальной оси Z, деленная на диаметр зеркала D.

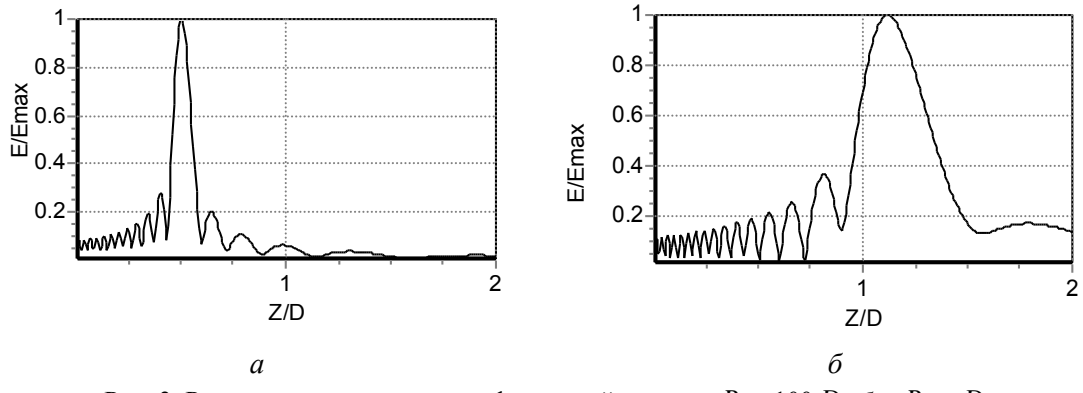


Рис. 3. Распределение поля вдоль фокальной оси: $a-R_q$ =100 D , $\delta-R_q$ = D

Из рис. З следует, что при облучении антенны из дальней зоны точка фокусировки (максимума поля) располагается в фокусе рефлектора (Z/D=F/D=0.5). С приближением точки излучения к раскрыву рефлектора область фокусировки поля удаляется от плоскости рефлектора и расширяется. Так, при $R_q=100\,D$ область фокусировки на уровне E/E max =0,707 составляет $\Delta Z/D=0.07\,D$, а при $R_q=D$ эта область расширяется до значения $\Delta Z/D=0.27\,D$. Величина $\Delta Z/D$ уменьшается при увеличении отношения D/λ , однако, абсолютное значение ширины области ΔZ не зависит от величины D/λ и составляет приблизительно 2,2 λ при облучении из дальней зоны. Максимум поля на фокальной оси соответствует той точке, в которую надо поместить фазовый центр рупорного облучателя для фокусировки антенны в точку Q в режиме передачи (или приема).

На рис. 4 показана диаграмма направленности антенны с параметрами $D/\lambda=30$ и F/D=0.5, рассчитанная методом физической оптики в режиме передачи для двух случаев: a облучатель расположен в фокусе, ДН рассчитана для дальней зоны (расстояние до точки наблюдения $100\,D$); δ – облучатель смещен вдоль фокальной оси в точку фокусировки в режиме

приема волны при расстоянии Rq = 3D до источника (точка Q на рис.1). В эту точку фокусируется антенна в режиме передачи.

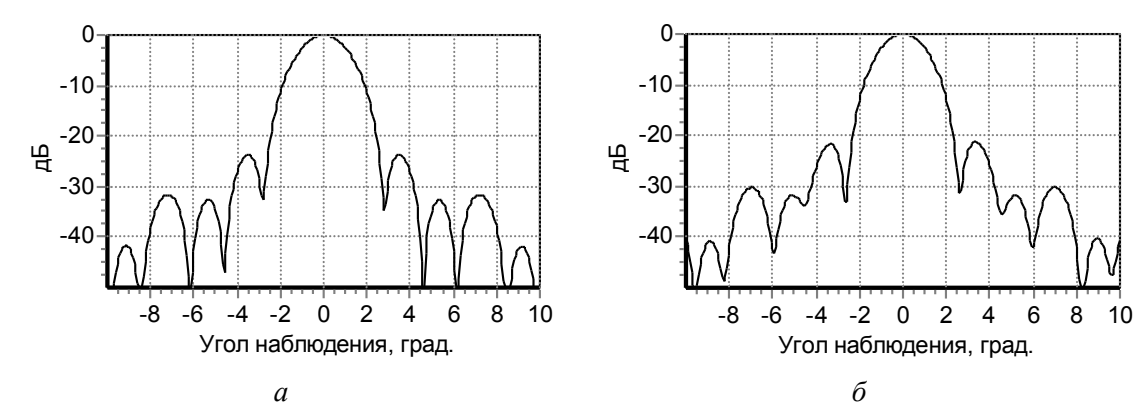


Рис. 4. ДН антенны, сфокусированной в дальнюю зону (a) и сфокусированной на расстояние Rq = 3D(6)

Как видно, обе ДН близки друг к другу по основным параметрам — ширине главного лепестка и уровню боковых лепестков.

На рис.5 показано распределение нормированной амплитуды поля вдоль оси Y при Z=F (в фокальной плоскости) для антенны с параметрами $D/\lambda=30$ и F/D=0.5. Точка источника расположена на расстоянии $Rq=30\,D$ для двух случаев: a – при $\theta q=0$ (рис. 1) и δ – $\theta q=5^\circ$. Ширина области фокусировки по уровню 0,707 от максимума приблизительно равна длине волны λ при $\theta q=0$. С отклонением точки источника с оси Z область фокусировки смещается в фокальной оси и расширяется. Ширина области фокусировки практически не зависит от отношения D/λ при неизменном отношении F/D. Смещение области в фокальной плоскости увеличивается с ростом D/λ при F/D=const, что иллюстрируется рис.6.

Диаграмма направленности в режиме приема. Расчеты показывают, что зависимость амплитуды поля в фокусе рефлектора от угла прихода ЭМВ (угла θq на рис.1) заметно отличается от диаграммы направленности антенны в режиме передачи. На рис.7 показана эта зависимость для антенны с параметрами $D/\lambda=30$ и F/D=0,5 при $Rq=30\,D$ (прием волны из дальней зоны). Из сравнения рис. 7 и рис. 4,a видно это различие. Оно особенно проявляется в уровне первого бокового лепестка. На рис. 8 показана ДН антенны в режиме приема. Из сравнения рис. 8 и рис. 4,a следует, что рассчитанные методом физической оптики с ранее описанными приближениями ДН в режимах передачи и приема близки друг к другу по основным параметрам — ширине главного лепестка и уровню максимального бокового лепестка.

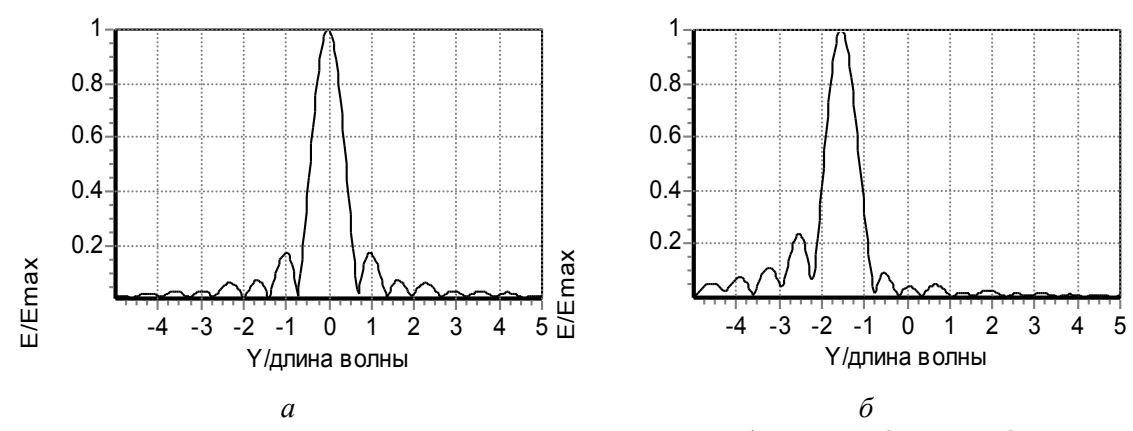
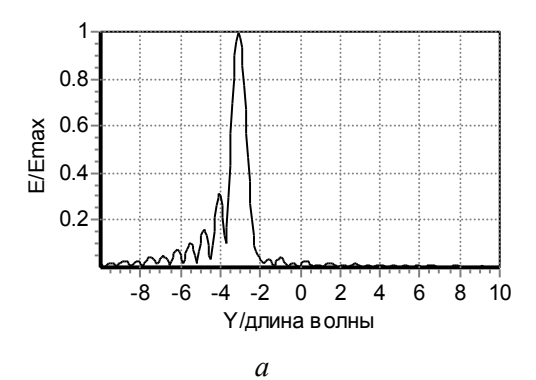


Рис. 5. Распределение поля в фокальной плоскости при $D/\lambda =30$: $a-\theta q=0$, $\delta-\theta q=5^\circ$



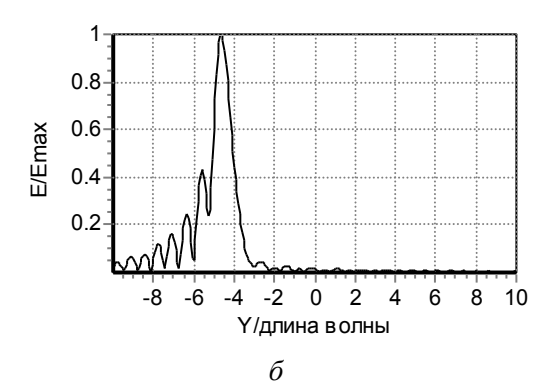
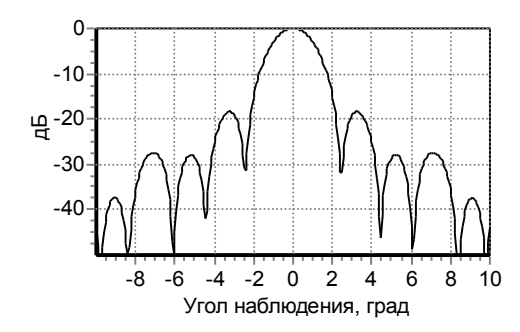


Рис. 6. Распределение поля в фокальной плоскости при $\theta q = 5^{\circ}$: $a - D/\lambda = 60$, $\delta - D/\lambda = 90$



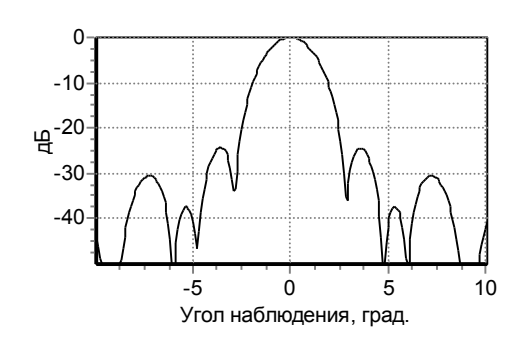


Рис. 7. Зависимость амплитуды поля в фокусе рефлектора от угла θq

Рис. 8. Диаграмма направленности в режиме приема

Аналогичные результаты получены из сравнения диаграммы направленности в режиме передачи при фокусировке антенны в ближнюю зону на заданное расстояние Rq и диаграммы направленности в режиме приема при облучении антенны из точки, расположенной на расстоянии Rq.

Заключение

Проведено численное моделирование зеркальной антенны в режиме приема. Исследовано распределение поля в области, включающей точку фокусировки, при различном положении источника сферической волны. Моделирование антенны в этом режиме позволяет исследовать поле, отраженное от рефлектора, в ближней зоне, оптимизировать положение и размеры раскрыва рупора облучателя, развязку между соседними рупорами в многолучевой зеркальной антенне.

REFLECTOR ANTENNA RECEIVING A SPHERICAL WAVE

O.A. YURTSEV, N.M. NAUMOVICH, M.M. DGALI

Abstract

The paraboloidal reflector antenna is considered. The feed element is a horn. Using physical optics (PO) method the near field distribution and antenna pattern are studied when the antenna is focused to near-field and far-field region.

Список литературы

1. Вайнштейн Л.А. Электромагнитные волны. М., 1988.